



# Reforma autotérmica do etanol integrada a captura e conversão in situ do CO<sub>2</sub> em gás de síntese

Gabriel Santos Viana<sup>1</sup>, Karen Abreu Resende<sup>1</sup>, Carla Eponina Hori<sup>1,\*</sup>

<sup>1</sup>Faculdade de Engenharia Química, Universidade Federal de Uberlândia, Av. João Naves de Ávila 2121, Campus Santa Mônica – Bloco 1K, 38400-902 Uberlândia, MG, Brasil. \*cehori@ufu.br.

#### Resumo/Abstract

RESUMO - Catalisadores bifuncionais NiCaAl e NiCoCaAl foram avaliados na produção de H<sub>2</sub> e gás de síntese via reforma autotérmica com captura de CO<sub>2</sub> (rAT-cCO<sub>2</sub>) do etanol integrada à reação reversa de deslocamento água-gás (rWGS). Os catalisadores foram sintetizados via sol-gel com 15% dos óxidos de Ni ou NiCo (razão mássica Ni/Co = 1) e 75% do CaO m/m, e caracterizados por diferentes técnicas. A reforma foi conduzida a 500 °C, R<sub>molar</sub> H<sub>2</sub>O/EtOH=6 e 15 ml/min de ar sintético; e a rWGS a 800 °C com 10 ml/min de H<sub>2</sub> em Ar durante a regeneração. Resultados de difração de raios X indicaram a presença de picos de CaO e Ni metálico, e uma possível interação entre o Ni e o Co para o catalisador modificado. Testes de captura/regeneração após 20 ciclos mostraram um ganho de massa de 23,6 e 16,9% para o NiCaAl e NiCoCaAl, respectivamente, com menor redução de ganho de massa para o NiCoCaAl, o que indica maior estabilidade. As frações molares de H<sub>2</sub> foram superiores a 95% com tempo de pré-ruptura de 14 min após os 10 ciclos de reação para ambos catalisadores. NiCoCaAl apresentou melhor estabilidade para reação rWGS com conversão de CO<sub>2</sub> (87%) e seletividade em CO (97%), destacando seu potencial tecnológico.

Palavras-chave: Hidrogênio, Etanol, Reforma Autotérmica, Captura e Conversão de CO2, Gás de Síntese.

ABSTRACT - Bifunctional NiCaAl and NiCoCaAl catalysts were evaluated for H<sub>2</sub> and syngas production via autothermal reforming with CO<sub>2</sub> capture (rAT-cCO<sub>2</sub>) of ethanol, integrated with the reverse water-gas shift-rWGS reaction. The catalysts were synthesized using the sol-gel method, with 15 wt% Ni or NiCo oxides (Ni/Co mass ratio = 1) and 75 wt% CaO, and were characterized by different techniques. Reforming was performed at 500 °C with a molar ratio H<sub>2</sub>O/EtOH=6 and a air flow rate of 15 ml/min; rWGS reaction was conducted at 800 °C with a H<sub>2</sub> flow of 10 ml/min in Ar during regeneration. X-ray diffraction analysis indicated the presence of CaO and metallic Ni peaks, and suggested a possible interaction between Ni and Co in the modified catalyst. Capture/regeneration tests over 20 cycles showed mass gains of 23.6% and 16.9% for NiCaAl and NiCoCaAl, respectively. NiCoCaAl exhibited a smaller reduction in mass gain, indicating greater stability. H<sub>2</sub> molar fractions exceeded 95%, with a pre-breakthrough time of 14 min after 10 reaction cycles for both catalysts. NiCoCaAl demonstrated superior stability in the rWGS reaction, with CO<sub>2</sub> conversion of 87% and CO selectivity of 97%, highlighting its technological potential.

Keywords: Hydrogen, Ethanol, Autothermal Reforming, CO<sub>2</sub> Capture and Conversion, Syngas.

## Introdução

O etanol é uma matéria-prima estratégica na matriz energética Brasileira. Este álcool possui uma aplicação direta como combustível e vem sendo explorado em rotas tecnológicas sustentáveis, produção para hidrocarbonetos e produtos químicos, além daquelas voltadas à produção de hidrogênio (H2) e gás de síntese. Entre as rotas de conversão do etanol, a reforma autotérmica (rAT) oferece a vantagem de ser um processo eficiente e sustentável, pois possibilita a geração de hidrogênio e gás de síntese, utilizando um processo em que a energia necessária para a reação é parcialmente fornecida pela própria combustão do etanol. A integração dessas rotas com tecnologias de captura e conversão in situ de dióxido de carbono (CO2) amplia a redução das emissões de gases de

efeito estufa, além de valorizar o CO<sub>2</sub> como matéria-prima promovendo um ciclo mais sustentável e economicamente eficiente (1-2).

O processo de reforma com captura de CO<sub>2</sub>, SER (Sorption Enhanced Reforming) tem despertado grande interesse econômico e ambiental devido a obtenção do H<sub>2</sub> com elevada pureza, menor custo energético e redução das emissões de gases de efeito estufa. Uma alternativa para otimizar esse processo consiste no uso de materiais bifuncionais, composto por catalisador e adsorvente, que podem realizar a captura do CO<sub>2</sub> produzido durante a reação de reforma deslocando o equilíbrio da reação para formação de H<sub>2</sub>. Além disso, a tecnologia permite o uso do CO<sub>2</sub> capturado para produção de gás de síntese, via reação reversa de deslocamento água-gás, rWGS (Reverse Water



*Gas Shift*), aumentando a eficiência econômica do processo (3-4).

Apesar de ser um processo promissor, o SER ainda apresenta algumas limitações tecnológicas para ser aplicado comercialmente, sobretudo no desenvolvimento dos catalisadores bifuncionais estáveis. Para a captura de CO<sub>2</sub>, materiais a base de Ni e CaO são amplamente empregados devido à relação custo-benefício, mas estão susceptíveis a sinterização do sorvente, o que leva a drástica redução da captura do CO<sub>2</sub> e desativação (3). Além disso, poucos estudos tem destinado uma aplicação ao CO<sub>2</sub> capturado. Dessa forma, o objetivo deste estudo foi desenvolver catalisadores ativos e estáveis à base de NiCaAl e NiCoCaAl para a produção de H<sub>2</sub>, bem como viabilizar a conversão *in situ* de CO<sub>2</sub> em gás de síntese por meio da reação rWGS.

# Experimental

Síntese dos materiais bifuncionais

Os catalisadores foram sintetizados pelo método sol-gel via citrato, utilizando uma razão molar metais/ácido = 1. A composição final foi de 15% de NiO (para o catalisador modificado, a razão mássica Ni/Co = 1), 75% de CaO e 10% de γ-Al<sub>2</sub>O<sub>3</sub>, em base mássica. Inicialmente, os precursores metálicos foram dissolvidos e homogeneizados em 300 ml de água destilada por 30 minutos. Em seguida, a solução resultante foi aquecida a 90 °C até completa evaporação do solvente e formação do gel. Finalmente, o gel foi seco em estufa a 120 °C por 24 h, seguido de maceração e posterior calcinação a 800 °C por 1 hora, com uma taxa de aquecimento de 1 °C/min sob fluxo de ar de 30 ml/min.

#### Caracterização

As amostras sintetizadas foram caracterizadas por difração de raios X utilizando um difratômetro Shimadzu Lab X-XRD-6000, com tensão de 40 kV e corrente de 30 mA, empregando radiação Cu K $\alpha$  ( $\lambda$  = 0,15406 nm). As varreduras foram realizadas na faixa de 2 $\theta$  entre 10° e 80°, com passo de 0,01° e velocidade de varredura de 0,6°/min, à temperatura ambiente.

As análises de redução a temperatura programada (TPR) foram conduzidas em uma unidade multipropósito e quantificada por um cromatógrafo a gás modelo GC-17A (Shimadzu), equipado com detector de condutividade térmica. Para cada experimento, foram utilizadas 50 mg da amostra previamente tratada a 600 °C por 6 horas. A faixa de temperatura da análise foi de temperatura ambiente até 1000 °C (10 °C/min), sob fluxo contínuo de 30 ml/min de uma mistura gasosa composta por 1,96% de H<sub>2</sub> em Ar.

A capacidade de captura de CO<sub>2</sub> das amostras foi avaliada por termogravimetria, utilizando um analisador Shimadzu TGA-50. Inicialmente, cerca de 5 mg de cada amostra foram tratadas a 800 °C sob fluxo de He (50 ml/min) por 10 minutos, visando à limpeza da superfície. Em seguida, os



ciclos de carbonatação foram conduzidos a 500 °C, com um tempo de exposição de 30 minutos em uma corrente gasosa composta por 15% de CO<sub>2</sub> (obtido pela diluição de 8,8 ml/min de CO<sub>2</sub> em 50 ml/min de He). Após o período de captura, o fluxo de CO<sub>2</sub> foi interrompido, mantendo-se apenas o fluxo de He. A temperatura foi então elevada a 800 °C, com taxa de aquecimento de 10 °C/min, sendo mantida por 10 minutos para promover a decomposição do CaCO<sub>3</sub> em CaO e CO<sub>2</sub>. A equação 1 mostra como o cálculo das capacidades de captura (ganho de massa) foram realizados.

Ganho de massa (%) = 
$$\frac{m_t \times 100}{m_i} - 100$$
 (1)

onde  $m_t$  é a massa do material durante a etapa de carbonatação e  $m_i$  é a massa inicial do material após o tratamento térmico.

#### Análise Termodinâmica

A análise termodinâmica foi realizada utilizando o software CEA (*Chemical Equilibrium with Applications*) da NASA, aplicando o método de minimização da energia livre de Gibbs onde um sistema fechado e isobárico é simulado para o tratamento de reações não-estequiométricas. As análises foram realizadas considerando uma quantidade fixa de etanol (1 mol) enquanto a quantidade de oxigênio na rAT e na rAT-cCO2 foram variadas. Os compostos gasosos considerados como resposta foram CH4, CO, CO2 e H2. C sólido (coque) também foi considerado em todos os cálculos, mas não foi observado em nenhuma das análises. A quantidade de CaO considerada foi estequiométrica de acordo com a quantidade de carbono, ou seja, CaO/Etanol = 2. A relação H2O/etanol=6 foi mantida para garantir melhor comparação com os resultados experimentais.

### Testes catalíticos

Inicialmente, 0,5 g do catalisador (material bifuncional) foi introduzido em um reator tubular de quartzo e submetido a redução a 800 °C durante 1 hora, sob fluxo de 100 ml/min de Ar e 10 ml/min de H<sub>2</sub> (10 °C/min). Após a redução, a temperatura do reator foi ajustada para 500 °C, sendo essa a temperatura de operação da reforma. A alimentação líquida, composta por uma solução de etanol e água com razão molar H<sub>2</sub>O/etanol=3, foi bombeada, por meio de uma bomba Shimadzu LC-20AT (HPLC) até o evaporador. Após o evaporador, a fase gasosa era composta por 100 ml/min de Ar, 4,5 ml/min de etanol e 27 ml/min de vapor d'água. Durante a reação de reforma, o sorvente foi gradualmente saturado com CO2. Ao atingir a saturação do adsorvente, o sistema foi submetido à etapa de regeneração. A alimentação foi modificada para 100 ml/min de Ar e 10 ml/min de H<sub>2</sub>, enquanto a temperatura foi elevada até 800 °C a uma taxa de aquecimento de 5 °C/min. Nessa



etapa, ocorreu a reação rWGS, utilizando o CO2 dessorvido e o H2 da alimentação. A temperatura foi mantida em 800 °C por 14 minutos para completa regeneração do sorvente. Em seguida, a temperatura foi reduzida novamente a 500 °C com uma taxa de resfriamento de 10 °C/min, sob fluxo contínuo de Ar (100 ml/min), reiniciando o ciclo. Todos os catalisadores foram avaliados ao longo de 10 ciclos consecutivos. A Figura 1 ilustra os estágios de redução, reforma e regeneração dos catalisadores.

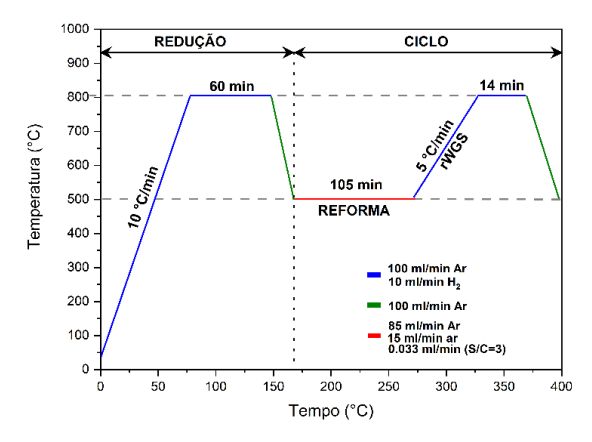
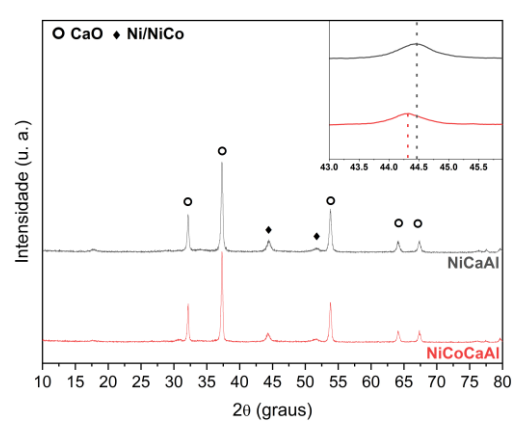


Figura 1. Condições dos estágios do teste catalítico.

#### Resultados e Discussão

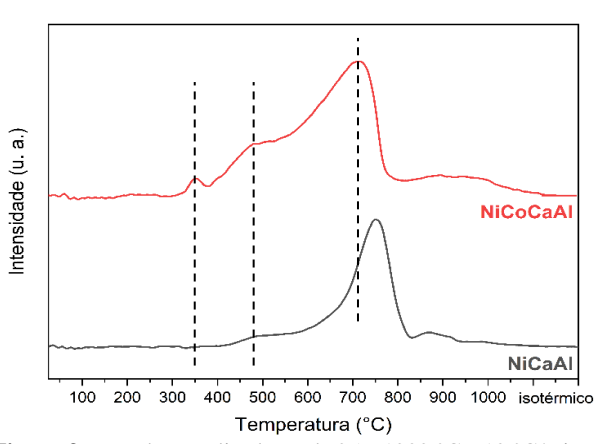
Os difratogramas dos catalisadores reduzidos e passivados são apresentados na Fig. 2. Foram identificadas predominantemente duas fases cristalinas: (i) a estrutura cúbica do óxido de cálcio (CaO), conforme a ficha PDF 77-2010, com picos característicos localizados em  $2\theta = 32,16^{\circ}$ ,  $37,33^{\circ}$ ,  $53,84^{\circ}$ ,  $64,15^{\circ}$  e  $67,36^{\circ}$ ; (ii) os planos (111) e (200) em 44,51 e  $51,85^{\circ}$  da estrutura cúbica de face centrada do Ni<sup>0</sup> no catalisador NiCaAl e o possível surgimento da liga NiCo ( $2\theta = 44,31$  e  $51,58^{\circ}$ ).



**Figura 2.** DRX dos catalisadores reduzidos/passivados e ampliação dos picos correspondentes ao plano (111) das fases metálicas. As linhas verticais tracejadas indicam o pico em  $2\theta = 44,51^{\circ}$  do plano (111) do Ni e o deslocamento do pico para  $\theta = 44,31$  com a adição de Co.



A Fig. 2 também mostra uma ampliação do padrão de raios X na faixa de 43 e 46° para avaliação dos picos da fase metálica em relação ao plano (111) em catalisadores reduzidos. Para o catalisador bimetálico, o pico de difração é deslocado para valores de 2θ mais baixos, indicando uma possível formação de liga de NiCo. O deslocamento observado pode ser consequência de uma alteração da distância interplanar do plano (111) da fase metálica do Ni devido à possível substituição parcial por Co (5), entretanto uma investigação mais profunda é necessária para atingir essa conclusão final. A Fig. 3 ilustra os perfis de consumo de H<sub>2</sub> obtidos por RTP. Para o catalisador NiCoCaAl, para T< 350 °C, um único pico foi observado, o que pode estar relacionado à redução de Co<sup>3+</sup> para Co<sup>2+</sup> (6). Enquanto, para a amostra NiCaAl nenhum pico foi observado nessa faixa de temperatura. A região com temperatura entre 350-500 °C corresponde principalmente a redução do óxido de níquel. Nessa região, para ambos catalisadores, um ombro é observado a 500 °C, o que pode ser atribuído à redução de partículas de Ni com interação moderada com o suporte. Os principais picos de consumo de H<sub>2</sub> foram observados a 753 e 711 °C para os catalisadores NiCaAl e NiCoCaAl, respectivamente. O deslocamento desse pico de redução para temperaturas mais baixas com a adição de Co pode ser um indicativo de uma interação mais fraca entre Ni e o suporte devido a presença do cobalto. Outra alternativa, seria um possível aumento de defeitos na rede cristalina do níquel, o que facilitaria a redução do catalisador. Alterações na rede cristalina do níquel devido a presença de Co que também foram observadas nos dados de DRX.

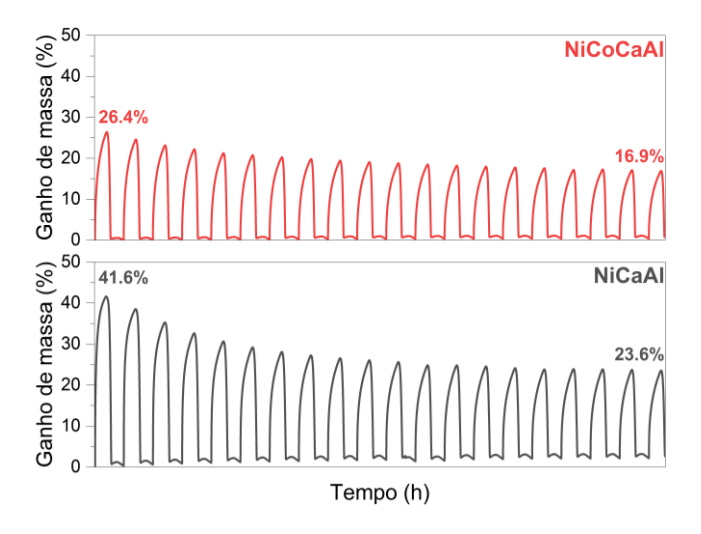


**Figura 3.** RTP dos catalisadores de 25 a 1000 °C a 10 °C/min com 1,96% de  $H_2$  em atmosfera de Ar.

Ambos catalisadores apresentaram um pequeno pico entre 850 e 1000 °C, geralmente atribuído à redução de Ni/Co da fase espinélio ou com forte interação com CaO (7-8). A análise de DRX não apresentou picos relacionados às fases de aluminato de níquel ou cobalto, o que indica que essa fase provavelmente é amorfa ou existe em pequenas quantidades. A capacidade de captura de CO<sub>2</sub> e a



estabilidade dos catalisadores foram avaliadas por meio de sucessivos ciclos de carbonatação e regeneração, conforme ilustrado na Fig. 4. Ambos os catalisadores apresentaram uma redução inicial no ganho de massa já no primeiro ciclo de carbonatação, sendo estabilizado após o 15º ciclo. A queda observada para o NiCoCaAl foi de 36%, entre o início e o fim, enquanto para o NiCaAl foi de 43.2%, o que indica uma menor perda no ganho de massa para a amostra NiCoCaAl durante a captura de CO2. A principal causa dessa queda no desempenho é atribuída à sinterização do CaO, que promove a redução da área superficial, volume de poros e crescimento das partículas (9). O mecanismo de carbonatação do CaO ocorre em duas etapas distintas: (i) uma fase cinética, caracterizada por uma reação superficial rápida e formação de uma camada de produto (CaCO<sub>3</sub>) com espessura de até 50 nm, e (ii) uma fase difusional, na qual o CO2 deve atravessar a camada de CaCO3 formada para alcançar o núcleo de CaO. À medida que as partículas aumentam de tamanho, as limitações de difusão tornam-se mais acentuadas, o que leva a uma menor eficiência na captura de CO<sub>2</sub> (9), justificando a queda da estabilidade.



**Figura 4.** Ganho de massa dos catalisadores ao longo de 20 ciclos de carbonatação a 500 °C com atmosfera de 15% de CO<sub>2</sub> em He e de regeneração a 800 °C por 10 min sob fluxo de He.

O modelo da exponencial dupla, Eq. 1, foi aplicado para avaliar o processo de carbonatação do CaO e estimar os parâmetros cinéticos e de difusão da reação.

$$y(wt\%) = -Ae^{-k_1t} - Be^{-k_2t} + C \tag{1}$$

onde y é a porcentagem de massa do ganho de massa, k<sub>1</sub> e k<sub>2</sub> são as constantes de primeira ordem de adsorção de CO<sub>2</sub> na superfície e difusão na camada de carbonato, respectivamente, t é o tempo de reação, A e B são os fatores



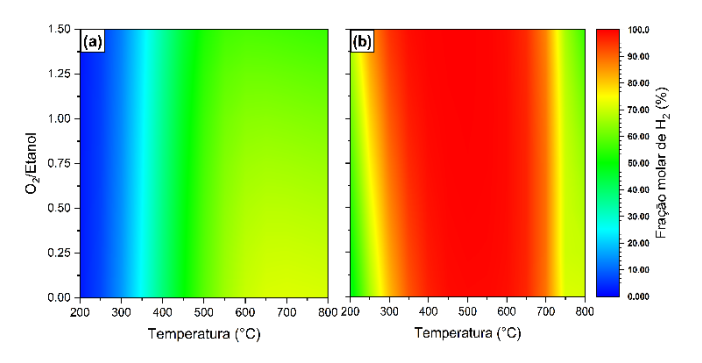
pré-exponenciais e C é a capacidade máxima de CO<sub>2</sub> capturado. Os resultados dos ajustes estão na Tabela 1.

**Tabela 1.** Parâmetros cinéticos  $(k_1)$  e de difusão  $(k_2)$  obtidos pelo ajuste ao modelo exponencial duplo.

Catalisador	Ciclo	k <sub>1</sub> (s <sup>-1</sup> )	k <sub>2</sub> (s <sup>-1</sup> )	$\mathbf{k_1}/\ \mathbf{k_2}$	$\mathbb{R}^2$
NiCaAl	1°	1,25	0,09	12,96	0,998
	20°	0,57	0,04	13,21	0,997
NiCoCaAl	1°	0,75	0,06	12,76	0,999
	20°	0,98	0,06	17,38	0,999

Os valores de  $R^2$  mostram que o modelo se ajustou bem em todos os casos estudados com  $R^2 > 0.99$ . Os resultados confirmam, que como  $k_1 > k_2$ , a taxa de adsorção de  $CO_2$  na superfície adsorvente é maior do que sua difusão no sólido, sendo a difusão a etapa limitante da reação (10).

Em seguida os catalisadores foram testados para a reforma autotérmica do etanol (rAT) com captura de CO<sub>2</sub> (rAT-cCO<sub>2</sub>) integrada à reação reversa de deslocamento água-gás (rWGS). Incialmente, para escolher as condições otimizadas para testar os materiais realizou-se uma análise termodinâmica. A Fig. 5 mostra os resultados termodinâmicos, em termos da fração de H<sub>2</sub> realizada para rAT e rAT-cCO<sub>2</sub>.



**Figura 5.** Análise termodinâmica da reforma autotérmicoa do etanol (a), e da reforma autotérmica com captura de CO<sub>2</sub> (b). Os resultados são expressos em fração molar de H<sub>2</sub> em uma base seca e livre de inertes em uma função da temperatura e da razão molar O<sub>2</sub>/etanol mantendo a razão molar S/C=3.

Na rAT, Fig. 5(a), a maior fração molar obtida de H<sub>2</sub> é de 71,60% a 700 °C com O<sub>2</sub>/etanol=0. Se comparada com a reforma a vapor do etanol (Eq. 2), o número de mols de H<sub>2</sub> na rAT (Eq. 3) é menor, e esse valor diminui com o aumento da razão O<sub>2</sub>/etanol. Entretanto, embora o rendimento de H<sub>2</sub> seja menor na rAT, a neutralidade térmica da reação supera as limitações da reforma a vapor convencional, que é altamente endotérmica. Na rAT-cCO<sub>2</sub>, Fig. 5(b), com a inserção do CaO observou-se um aumento na fração de H<sub>2</sub> no produto final em temperaturas menores que as da rAT



convencional com máximo 99,93% obtida a 500 °C e razão O<sub>2</sub>/etanol = 1,5. O CaO captura o CO<sub>2</sub> formado durante a reação de reforma, Eq. 4 fazendo com que o equilíbrio da reação seja deslocado para formação de H<sub>2</sub>. Quando se aumenta a temperatura ocorre uma diminuição na fração molar de H<sub>2</sub>, o que é resultado do consumo de H<sub>2</sub> na rWGS e da descarbonatação do CaO que aumenta a concentração de CO<sub>2</sub> no produto final e, consequentemente, a pureza do H<sub>2</sub> é reduzida.

$$CH_3CH_2OH_{(g)} + 3H_2O_{(g)} \rightleftharpoons 2CO_{2(g)} + 6H_{2(g)}$$
 (2)  
 $\Delta H_r = 174.1 \text{ kJ/mol}$ 

$$CH_3CH_2OH_{(g)} + 1,78 H_2O_{(g)} + 0.61 O_{2(g)} \rightleftharpoons 2CO_{2(g)} + 4,78 H_{2(g)}$$
 (3)  $\Delta H_r = 0$ 

$$CaCO_{3(s)} \rightleftharpoons CO_{2(g)} + CaO_{(s)}$$

$$\Delta H_r = 178,8 \ kJ/mol$$
(4)

Finalmente, o desempenho dos materiais para produção de H<sub>2</sub> e na conversão *in situ* de CO<sub>2</sub> em gás de síntese foi avaliada. Baseando-se na análise termodinâmica a temperatura de 500 °C e razão molar O<sub>2</sub>/etanol = 0,6 foram escolhidos como condições ótimas para realizar o teste experimental.

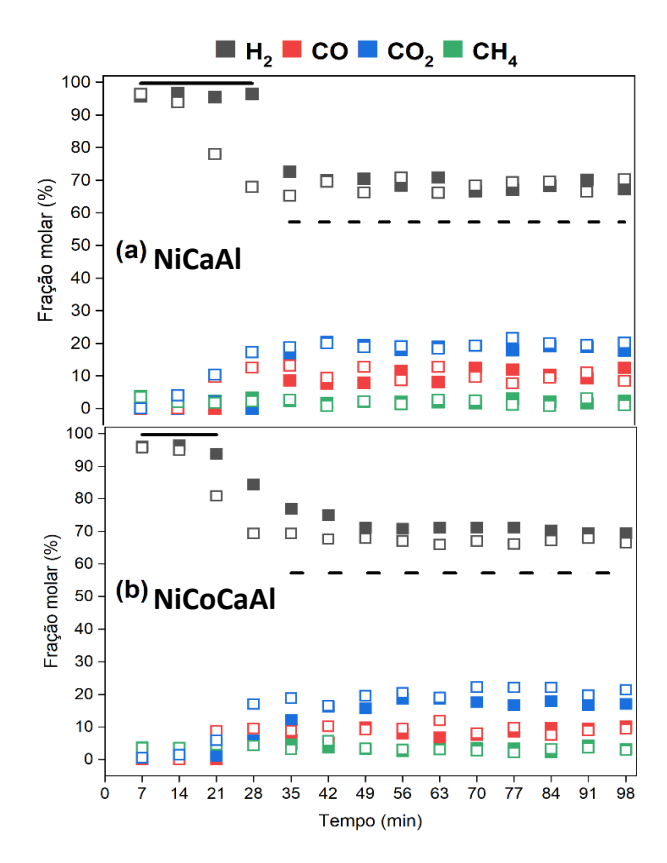
Os materiais foram submetidos a rAT-cCO<sub>2</sub> do etanol e rWGS durante a regeneração do adsorvente. H<sub>2</sub>, CO<sub>2</sub>, CO e CH<sub>4</sub> foram identificados e quantificados como produtos das reações e suas respectivas frações molares são ilustradas na Fig. 6. Para ambos os catalisadores a conversão de etanol foi superior a 99% e os gráficos mostraram perfis característicos de SER com três estágios diferentes (préruptura, ruptura e pós-ruptura).

O primeiro estágio (pré-ruptura) é marcado pela fração molar máxima de H<sub>2</sub> (preto) e máxima captura do CO<sub>2</sub> produzido na reforma (azul). À medida que a reação avança, no segundo estágio (ruptura), o adsorvente começa a saturar, e a taxa de captura é menor que a taxa de formação de CO<sub>2</sub>. Durante esse período, a carbonatação do CaO passa do regime cinético e inicia o regime de difusão. Assim, há um aumento na fração molar de CO (vermelho) e CO<sub>2</sub> no sistema enquanto H<sub>2</sub> diminui. Por fim, no terceiro estágio (pós-ruptura), o adsorvente está totalmente saturado e a reforma ocorre convencionalmente (11).

Com o catalisador NiCaAl a fração molar de H<sub>2</sub> no préruptura foi de 96,19% com duração de 28 min (1° ciclo), permanecendo praticamente constante até o 10° ciclo (H<sub>2</sub>=95,21%). Entretanto, houve redução no tempo de préruptura para 14 min. O catalisador NiCoCaAl apresentou similar fração molar média de H<sub>2</sub> 95,4% entre os ciclos, porém não houve queda do tempo de préruptura. Para ambas as amostras, não houve diferença significativa entre as composições de saída durante o período de pré-rutura



entre os ciclos para ambos os catalisadores, mostrando a estabilidade do material.

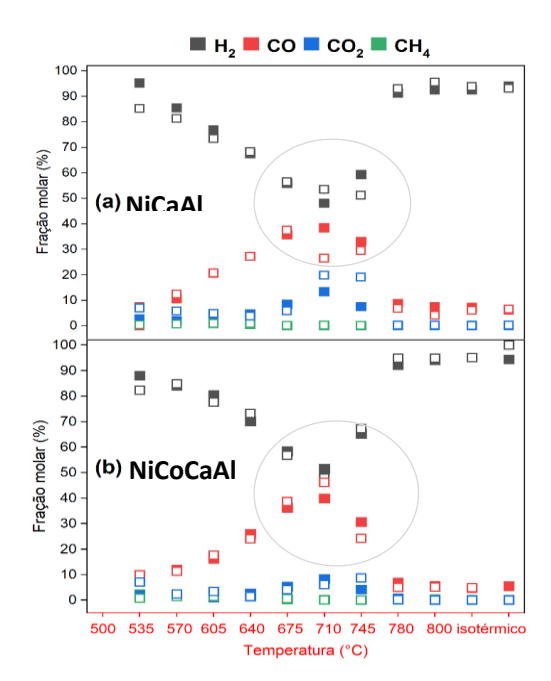


**Figura 6.** Fração molar dos produtos da rAT-cCO<sub>2</sub> em base seca e livre de inertes para os catalisadores (a) NiCaAl e (b) NiCoCaAl (1º ciclo = quadrados fechados e 10º ciclo = quadrados abertos). A linha preta sólida representa a fração molar de H<sub>2</sub> no equilíbrio durante o período pré-ruptura, ou seja, considerando o processo com captura de CO<sub>2</sub>. A linha tracejada preta refere-se à fração molar de H<sub>2</sub> no equilíbrio em um sistema convencional sem captura de CO<sub>2</sub> (pós-ruptura).

A redução do tempo de pré-ruptura ao longo dos ciclos é atribuída à sinterização das partículas adsorventes, o que leva a uma menor capacidade de captura de CO<sub>2</sub> (9). Essa redução foi perceptível tanto nos ensaios catalíticos quanto nos ciclos de carbonatação/regeneração, conforme foi observado na Fig. 4. Os resultados relatados por Oliveira e Hori (12) corroboram os dados encontrados neste trabalho. Os autores testaram catalisadores de Ni/CaO modificados com Mg e Al na reforma a vapor do etanol com captura de CO<sub>2</sub>. Os autores atribuíram a redução do tempo de préruptura devido à baixa temperatura de Tammann do CaCO<sub>3</sub> (533 °C), que leva a um aumento no tamanho das partículas do adsorvente, limitando a adsorção de CO<sub>2</sub> durante a reação de reforma.



Durante a etapa de regeneração do catalisador, Fig. 7, a temperatura do reator foi elevada para 800 °C a uma taxa de aquecimento de 5 °C/min, com fluxo de Ar = 100 ml/min e H<sub>2</sub> 10 ml/min. Até 600 °C a composição de saída do reator foi basicamente composta por H<sub>2</sub> devido a baixa cinética de descarbonatação do CaCO3 a essa temperatura. A hidrogenação do CO<sub>2</sub> a CH<sub>4</sub> foi observada entre 500-650 °C com fração molar de CH<sub>4</sub><3,25%, e com valores desprezíveis a partir desta temperatura, para ambas as amostras. Á medida que a temperatura aumentou, a conversão de CO2 em CO também aumentou, uma vez que a reação rWGS é endotérmica e favorecida em temperaturas mais altas. Para ambas as amostras, a conversão de CO2 foi superior a 80% em todos os ciclos com seletividade superior a 95%. A maior produção de CO foi obtida a 710 °C para ambos os catalisadores, em torno de 40% para o NiCaAl e de 50% para o NiCoCaAl. O NiCoCaAl manteve uma maior estabilidade para CO após 10 ciclos (quadrado aberto vermelho) do que o NiCaAl. A dissociação do CO2 em CO\* + O\* sob cobalto é mais estável quando comparado com níquel, além disso Co e um metal mais oxofilico do que o Ni (13). Para o NiCoCaAl, a proximidade entre Co<sup>2+</sup> e Ni<sup>0</sup>, comprovada por DRX e RTP, aliada à presença de uma atmosfera redutora, possivelmente evita o acúmulo de O\* na superfície metálica. Isso, por sua vez, leva a uma maior quantidade de sítios metálicos disponíveis a 710 °C para atuar como sítios ativos na reação de rWGS, favorecendo a estabilidade da amostra.



**Figura 6.** Fração molar dos produtos da rWGS em base seca e livre de inertes do (a) NiCaAl e (b) NiCoCaAl (quadrados fechados do 1º ciclo e quadrados abertos do 10º ciclo).



Sun et al. (14) testaram catalisadores de Ni/Ca modificados com CeO<sub>2</sub> na captura e conversão de CO<sub>2</sub> em CO. A 650 °C, os catalisadores apresentaram conversão e seletividade de 49 e 99%, respectivamente, o que comprova a importância da proximidade de óxidos redutíveis ao níquel para promover a captura e conversão de CO<sub>2</sub>. Dai et al., (13) também desenvolveram de catalisadores de Ni e Co suportados em CeO<sub>2</sub> para a reação rWGS. Embora a conversão de CO<sub>2</sub> a 400 °C usando catalisadores à base de Ni (69,21%) seja maior do que a de catalisadores à base de Co (34,91%), a seletividade de CO do catalisador contendo Co (67%) foi maior em relação ao catalisador de Ni (<28%), o que suporta os resultados do presente trabalho.

#### Conclusões

catalisadores apresentaram Ambos os desempenho para reforma autotérmica do etanol (rAT) com conversão de etanol maior que 99% e um tempo de préruptura de 14 min após 10 ciclos. Durante a rAT-cCO2, os catalisadores de NiCaAl e NiCoCaAl apresentaram uma fração molar de H2 maior, superior a 95%. Entretanto, o catalisador NiCoCaAl apresentou melhor desempenho na conversão de CO<sub>2</sub> (87%) e seletividade em CO (97%) após os 10 ciclos rAT-cCO2, o que provavelmente está relacionado com a interação do Co com o Ni, como observado nos dados de caracterização. Dessa forma, provase que o material dopado com Co é um potencial catalisador tanto para a produção de H2 quanto para a conversão de CO2 em gás de síntese via reação rWGS capaz de integrar o desenvolvimento técnico, econômico e sustentável.

## Agradecimentos

CAPES, CNPq, FAPEMIG e FEQUI/UFU.

# Referências

- 1. Yan T. et al. Sci China Chem, 2024, 67, 3588–3613.
- 2. Chen W. et al. Fuel, **2023**, 342, 127871.
- 3. Farooqi A. S. CCST, 2025, 15, 100336.
- 4. Shen Y. et al. Chem. Eng. J, 2025, 512, 162440.
- 5. Liu X. Sol. RRL, 2021, 5, 2100185.
- 6. Shao B. Energy Environ. Sci., 2021, 2012, 1-11.
- 7. Song Q. et al. *J CO2 UTIL*, **2023**, 68, 102387.
- 8. Gou Y. et al. Sep. Purif. Technol., 2023, 305, 122455.
- Krodel M. et al. Chem. Sus. Chem., 2020, 13, 6259 6272.
- 10. Mu Y; Zhang M; Guo M. Sep. Purif. Technol., 2025, 352, 128268.
- 11. Chen C; Yu C. Int. J. Hydrogen Energy, **2022**, 47, 2412e2422.
- 12. Oliveira C. C; Hori C. E. *Int. J. Hydrogen Energy*, **2023**, 48, 30263e30281.
- 13. Dai B. et al. Can. J. Chem. Eng., 2017, 95, 634-642.
- 14. Sun S. et al. R. Soc. Open Sci, 2023, 10, 230067.